

Starkniederschlagshöhen und -spenden gemäß KOSTRA-DWD-2010R

Auswertungszeitraum von 1951 - 2010, Januar - Dezember

Rasterfeld: 44024

Zeile: 44

Spalte: 24

Seite: 1/2

| Dauerstufe D | Wiederkehrzeit T | | | | | | | | | | | | | | | | | | |
|--------------|------------------|------|------------|------|------------|------|------------|------|------------|------|------------|------|------------|------|------------|------|------------|------|------------|
| | 1 a | | 2 a | | 3 a | | 5 a | | 10 a | | 20 a | | 30 a | | 50 a | | 100 a | | |
| min | Std | mm | l / (s ha) | mm | l / (s ha) | mm | l / (s ha) | mm | l / (s ha) | mm | l / (s ha) | mm | l / (s ha) | mm | l / (s ha) | mm | l / (s ha) | mm | l / (s ha) |
| 5 | | 4,9 | 163,3 | 6,7 | 223,3 | 7,8 | 260,0 | 9,2 | 306,7 | 11,0 | 366,7 | 12,9 | 430,0 | 14,0 | 466,7 | 15,4 | 513,3 | 17,2 | 573,3 |
| 10 | | 7,9 | 131,7 | 10,4 | 173,3 | 11,8 | 196,7 | 13,6 | 226,7 | 16,1 | 268,3 | 18,6 | 310,0 | 20,0 | 333,3 | 21,9 | 365,0 | 24,3 | 405,0 |
| 15 | | 9,9 | 110,0 | 12,8 | 142,2 | 14,6 | 162,2 | 16,7 | 185,6 | 19,6 | 217,8 | 22,6 | 251,1 | 24,3 | 270,0 | 26,5 | 294,4 | 29,4 | 326,7 |
| 20 | | 11,4 | 95,0 | 14,7 | 122,5 | 16,6 | 138,3 | 19,0 | 158,3 | 22,4 | 186,7 | 25,7 | 214,2 | 27,6 | 230,0 | 30,0 | 250,0 | 33,3 | 277,5 |
| 30 | | 13,3 | 73,9 | 17,2 | 95,6 | 19,5 | 108,3 | 22,4 | 124,4 | 26,3 | 146,1 | 30,3 | 168,3 | 32,6 | 181,1 | 35,4 | 196,7 | 39,4 | 218,9 |
| 45 | | 15,1 | 55,9 | 19,7 | 73,0 | 22,4 | 83,0 | 25,8 | 95,6 | 30,5 | 113,0 | 35,1 | 130,0 | 37,8 | 140,0 | 41,3 | 153,0 | 45,9 | 170,0 |
| 60 | | 16,1 | 44,7 | 21,3 | 59,2 | 24,4 | 67,8 | 28,3 | 78,6 | 33,5 | 93,1 | 38,7 | 107,5 | 41,8 | 116,1 | 45,7 | 126,9 | 50,9 | 141,4 |
| 90 | | 17,6 | 32,6 | 23,0 | 42,6 | 26,1 | 48,3 | 30,1 | 55,7 | 35,5 | 65,7 | 40,9 | 75,7 | 44,1 | 81,7 | 48,1 | 89,1 | 53,4 | 98,9 |
| 120 | 2 | 18,7 | 26,0 | 24,2 | 33,6 | 27,5 | 38,2 | 31,5 | 43,8 | 37,0 | 51,4 | 42,6 | 59,2 | 45,8 | 63,6 | 49,8 | 69,2 | 55,4 | 76,9 |
| 180 | 3 | 20,4 | 18,9 | 26,1 | 24,2 | 29,4 | 27,2 | 33,6 | 31,1 | 39,3 | 36,4 | 45,0 | 41,7 | 48,3 | 44,7 | 52,5 | 48,6 | 58,2 | 53,9 |
| 240 | 4 | 21,8 | 15,1 | 27,6 | 19,2 | 31,0 | 21,5 | 35,2 | 24,4 | 41,0 | 28,5 | 46,9 | 32,6 | 50,3 | 34,9 | 54,5 | 37,8 | 60,3 | 41,9 |
| 360 | 6 | 23,8 | 11,0 | 29,7 | 13,8 | 33,2 | 15,4 | 37,7 | 17,5 | 43,6 | 20,2 | 49,6 | 23,0 | 53,1 | 24,6 | 57,5 | 26,6 | 63,5 | 29,4 |
| 540 | 9 | 25,9 | 8,0 | 32,1 | 9,9 | 35,7 | 11,0 | 40,3 | 12,4 | 46,4 | 14,3 | 52,6 | 16,2 | 56,2 | 17,3 | 60,8 | 18,8 | 66,9 | 20,6 |
| 720 | 12 | 27,6 | 6,4 | 33,9 | 7,8 | 37,6 | 8,7 | 42,3 | 9,8 | 48,6 | 11,3 | 54,9 | 12,7 | 58,5 | 13,5 | 63,2 | 14,6 | 69,5 | 16,1 |
| 1080 | 18 | 30,2 | 4,7 | 36,7 | 5,7 | 40,5 | 6,3 | 45,2 | 7,0 | 51,7 | 8,0 | 58,2 | 9,0 | 62,0 | 9,6 | 66,8 | 10,3 | 73,3 | 11,3 |
| 1440 | 24 | 32,1 | 3,7 | 38,7 | 4,5 | 42,6 | 4,9 | 47,5 | 5,5 | 54,2 | 6,3 | 60,8 | 7,0 | 64,7 | 7,5 | 69,6 | 8,1 | 76,2 | 8,8 |
| 2880 | 48 | 41,9 | 2,4 | 49,2 | 2,8 | 53,4 | 3,1 | 58,7 | 3,4 | 66,0 | 3,8 | 73,2 | 4,2 | 77,4 | 4,5 | 82,8 | 4,8 | 90,0 | 5,2 |
| 4320 | 72 | 49,0 | 1,9 | 56,6 | 2,2 | 61,0 | 2,4 | 66,6 | 2,6 | 74,2 | 2,9 | 81,8 | 3,2 | 86,2 | 3,3 | 91,8 | 3,5 | 99,4 | 3,8 |

Angaben in mm: Bemessungsniederschlagswerte h(n)

Angaben in l / (s ha): Regenspende R(n) mit $R(n) = h(n) \times 1,666667 / D[\text{min}]$

Toleranzbereiche:

+/- 10 % für $1 a \leq T \leq 5 a$

+/- 15 % für $5 a < T \leq 50 a$

+/- 20 % für $50 a < T \leq 100 a$

Datenbasis: KOSTRA-DWD-2010R des Deutschen Wetterdienstes. Die Regenspende wurde auf Basis des Bemessungsniederschlags zur jeweiligen Andauer berechnet.

Für die Richtigkeit und Aktualität der Angaben wird keine Gewähr übernommen. Erstellt 07/2022.

Starkniederschlagshöhen und -spenden gemäß KOSTRA-DWD-2010R

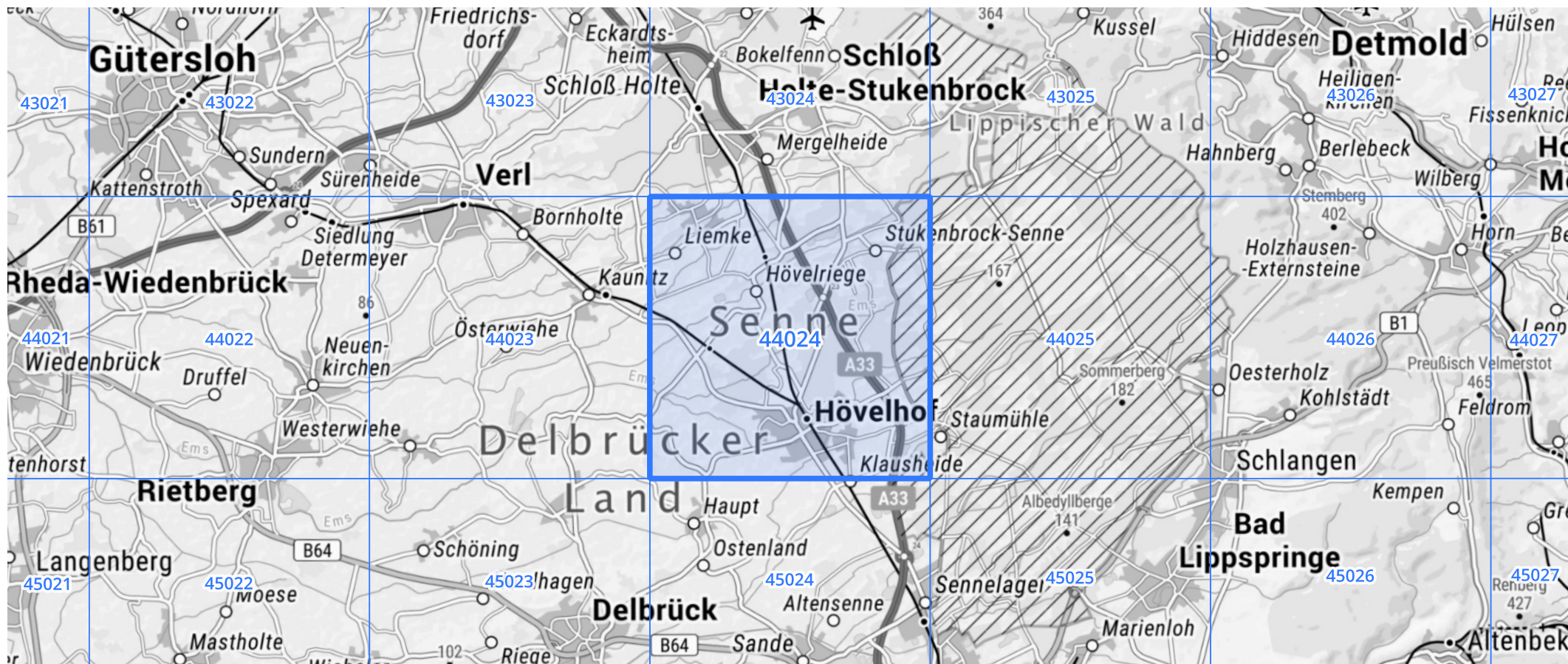
Auswertungszeitraum von 1951 - 2010, Januar - Dezember

Rasterfeld: 44024

Zeile: 44

Spalte: 24

Seite: 2/2



Quelle Rasterdaten: KOSTRA-DWD-2010R des Deutschen Wetterdienstes.

Kartendarstellung: © Bundesamt für Kartographie und Geodäsie (2022), Datenquellen: https://sgx.geodatenzentrum.de/web_public/gdz/datenquellen/Datenquellen_TopPlusOpen.html

Für die Richtigkeit und Aktualität der Angaben wird keine Gewähr übernommen. Erstellt 07/2022.